



AB 1294



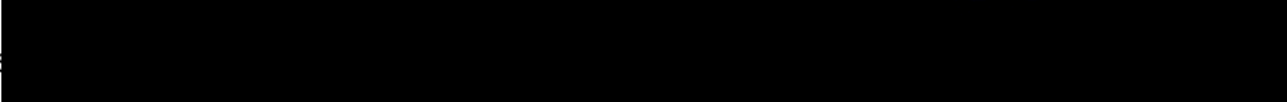

LABORATORIUM ANTEO Sp. z o.o.

ul. Chryzantem 23

41-700 Ruda Śląska

e-mail: laboratorium@anteo.pl

SPRAWOZDANIE Z BADAŃ PÓL ELEKTROMAGNETYCZNYCH W OTOCZENIU STACJI BAZOWEJ TELEFONII KOMÓRKOWEJ SIECI P4 DLA POTRZEB OCHRONY LUDZI I ŚRODOWISKA

| | | | |
|--------------------------------------------------------------------------------------|-----------------------------------------------------------|-------------------------------------------------------------------------------------------------------------------|----------------------------|
| Nr stacji | Miejsce wykonania pomiarów: | Data wykonania pomiarów: | Data wydania sprawozdania: |
| WOD2904A | 44-286 Wodzisław Śląski, ul. Radlińska 72 | 2024-07-15 | 2024-07-18 |
| Zleceniodawca: | P4 Sp. z o.o. ul. Wynalazek 1, 02-677 Warszawa | | |
| Nr ewidencyjny sprawozdania: | SP_2024-07-004-8-S_WOD2904A | | |
| Sprawozdanie wykonała: | Sprawdził: | Autoryzował/Data: | |
|  | |  Dokument podpisany przez | |
| | | Kierownik laboratorium | |

1. Wstęp

Badania wykonano na podstawie umowy z dnia 2018-08-31 pomiędzy firmą **Laboratorium Anteo sp. z o.o., ul. Chryzantem 23/1, 41-700 Ruda Śląska**, a firmą **P4 Sp. z o.o., ul. Wynalazek 1, 02-677 Warszawa**, przekazanej do realizacji laboratorium Anteo.

Sprawozdanie przedstawia wyniki sprawdzenia dotrzymania dopuszczalnych poziomów pól elektromagnetycznych w środowisku w otoczeniu instalacji - stacji bazowej **WOD2904A** będącej obiektem radiokomunikacyjnym P4 Sp. z o.o., w miejscach dostępnych dla ludności w otoczeniu ww. instalacji.

Wyniki pomiarów odnoszą się wyłącznie do istniejącej konfiguracji instalacji antenowej. Każda zmiana konfiguracji o ile zmiana ta może mieć wpływ na zmiany poziomów pól elektromagnetycznych wiąże się z koniecznością wykonania nowego badania

Laboratorium badawcze akredytowane przez PCA, Nr AB1294. Data ważności akredytacji: do 2027-10-27. Zakres wykonywanych przez laboratorium badań podany jest pod adresem www.pca.gov.pl.

Akredytacja Laboratorium w odniesieniu do normy ISO/IEC 17025:2018-02 oznacza spełnienie wymagań dotyczących kompetencji technicznych i systemu zarządzania, koniecznych dla zapewnienia wiarygodnych technicznie wyników badań.

2. Metoda badań

- Załącznik do rozporządzenia Ministra Klimatu z dnia 17 lutego 2020 r. *Sposoby sprawdzania dotrzymywania dopuszczalnych poziomów pól elektromagnetycznych w środowisku (Dz. U. 2022, poz. 2630)*.

3. Akty prawne

- Obwieszczenie Ministra Klimatu i Środowiska z dnia 21 listopada 2022 r. w sprawie ogłoszenia jednolitego tekstu rozporządzenia Ministra Klimatu w sprawie sposobów sprawdzania dotrzymywania dopuszczalnych poziomów pól elektromagnetycznych w środowisku (Dz. U. 2022, poz. 2630).
- Rozporządzenie Ministra Zdrowia z dnia 17 grudnia 2019 r. w sprawie dopuszczalnych poziomów pól elektromagnetycznych w środowisku (Dz. U. 2019, poz. 2448).

4. Odstępstwa/ograniczenia i uwarunkowania metody badawczej

Brak odstępstw/ograniczeń metody badawczej.

5. Lokalizacja obiektu badań

Badany obiekt znajduje się w miejscowości 44-286 Wodzisław Śląski, ul. Radlińska 72.
Współrzędne geograficzne obiektu: 18°27'43.00"E, 50°01'01.00"N.

6. Opis badania

Badany obiekt jest obiektem radiokomunikacyjnym sieci komórkowej (radiowa stacja bazowa telefonii mobilnej w sieci o przeznaczeniu publicznym). Anteny zainstalowano na kominie żelbetonowym. Na obiekcie zainstalowano urządzenia pracujące w pasmach częstotliwości 3500MHz, 2600MHz, 2100MHz, 1800MHz, 900MHz, 800MHz. Pomiary pól elektromagnetycznych zostały wykonane w szczególności w tych miejscach, w których na podstawie przeprowadzonych obliczeń, stwierdzono występowanie w danych zakresach częstotliwości pól elektromagnetycznych o poziomach zbliżonych do dopuszczalnych. Na kierunku zbliżonym do azymutu anten pomiary wykonano do obliczonej odległości występowania pól elektromagnetycznych o najwyższym poziomie w miejscach dostępnych dla ludności, pochodzących z badanej instalacji. Pomiary wykonano w odległości nie mniejszej niż 0,3 m od urządzeń, obiektów i elementów metalowych.

Wszelkie dane dotyczące źródeł promieniowania (min. wysokość anten, częstotliwość pracy) oraz współrzędne geograficzne obiektu pochodzą od zlecniodawcy.

Badanie zostało przeprowadzone w godz. od 10:20 do 11:50 przez:

██████████ – Specjalista ds. pomiarów PEM

7. Warunki atmosferyczne

| | | |
|-----------------------|----------------|-------------|
| Temperatura powietrza | Przed: 28,6° C | Po: 28,6° C |
| Wilgotność powietrza | Przed: 74,6% | Po: 74,6% |

Brak opadów atmosferycznych w czasie przeprowadzania badania.
 Pomiary zostały wykonane przy temperaturze i wilgotności względnej nie wyższej niż dopuszczalna specyfikacja miernika.

8. Parametry techniczne obiektu badań

Parametry techniczne przekazane przez zleceniodawcę.

Tabela nr 1 – Parametry systemu nadawczo – odbiorczego pracującego w paśmie 3500MHz, 2600MHz, 2100MHz, 1800MHz, 900MHz, 800MHz

Parametry systemu nadawczo odbiorczego pracującego w paśmie – 3500MHz, 2600MHz, 2100MHz, 1800MHz, 900MHz, 800MHz – tabela 1

| Charakterystyka promieniowania | | | | kierunkowa | | | | | |
|---------------------------------|---------------|------------------------|------------|-------------------------------------------|-------------|--------------------|---------------------|---------------|---------------|
| Rzeczywisty czas pracy [h/dobę] | | | | Całodobowa 24h | | | | | |
| Warunki pracy | | | | Znamionowe | | | | | |
| Rodzaj wytwarzanego pola | | | | stacjonarne | | | | | |
| Lp. | Typ nadajnika | Antena Producent / Typ | Azymut [°] | Wysokość środka elektr. anteny [m n.p.t.] | Pasmo [Mhz] | Kąt nachylenia [°] | EIRP dla anteny [W] | LON | LAT |
| 1 | DBS3xxx/5xxx | Huawei ASI4518R10 | 45 | 52,1 | 800 | 0 - 10 | 27238 | 18°27'43.00"E | 50°01'01.00"N |
| | DBS3xxx/5xxx | | | | 900 | 0 - 10 | | 18°27'43.00"E | 50°01'01.00"N |
| | DBS3xxx/5xxx | | | | 1800 | 2 - 12 | | 18°27'43.00"E | 50°01'01.00"N |
| | DBS3xxx/5xxx | | | | 2100 | 2 - 12 | | 18°27'43.00"E | 50°01'01.00"N |
| | DBS3xxx/5xxx | | | | 2600 | 2 - 12 | | 18°27'43.00"E | 50°01'01.00"N |
| 2 | DBS3xxx/5xxx | Huawei AAU5349 | 45 | 53,1 | 3500 | -2 - 13 | 8674 | 18°27'43.00"E | 50°01'01.00"N |
| 3 | DBS3xxx/5xxx | Huawei ASI4518R10 | 135 | 52,1 | 800 | 0 - 10 | 27238 | 18°27'43.00"E | 50°01'01.00"N |
| | DBS3xxx/5xxx | | | | 900 | 0 - 10 | | 18°27'43.00"E | 50°01'01.00"N |
| | DBS3xxx/5xxx | | | | 1800 | 2 - 12 | | 18°27'43.00"E | 50°01'01.00"N |
| | DBS3xxx/5xxx | | | | 2100 | 2 - 12 | | 18°27'43.00"E | 50°01'01.00"N |
| | DBS3xxx/5xxx | | | | 2600 | 2 - 12 | | 18°27'43.00"E | 50°01'01.00"N |
| 4 | DBS3xxx/5xxx | Huawei ASI4518R10 | 225 | 52,1 | 800 | 0 - 10 | 27238 | 18°27'43.00"E | 50°01'01.00"N |
| | DBS3xxx/5xxx | | | | 900 | 0 - 10 | | 18°27'43.00"E | 50°01'01.00"N |
| | DBS3xxx/5xxx | | | | 1800 | 2 - 12 | | 18°27'43.00"E | 50°01'01.00"N |
| | DBS3xxx/5xxx | | | | 2100 | 2 - 12 | | 18°27'43.00"E | 50°01'01.00"N |
| | DBS3xxx/5xxx | | | | 2600 | 2 - 12 | | 18°27'43.00"E | 50°01'01.00"N |
| 5 | DBS3xxx/5xxx | Huawei ASI4518R10 | 315 | 52,1 | 800 | 0 - 10 | 27238 | 18°27'43.00"E | 50°01'01.00"N |
| | DBS3xxx/5xxx | | | | 900 | 0 - 10 | | 18°27'43.00"E | 50°01'01.00"N |
| | DBS3xxx/5xxx | | | | 1800 | 2 - 12 | | 18°27'43.00"E | 50°01'01.00"N |
| | DBS3xxx/5xxx | | | | 2100 | 2 - 12 | | 18°27'43.00"E | 50°01'01.00"N |
| | DBS3xxx/5xxx | | | | 2600 | 2 - 12 | | 18°27'43.00"E | 50°01'01.00"N |
| 6 | DBS3xxx/5xxx | Huawei AAU5349 | 315 | 53,1 | 3500 | -2 - 13 | 14731 | 18°27'43.00"E | 50°01'01.00"N |

9. Sposób identyfikacji pola elektromagnetycznego

Niezbędnych informacji na temat źródeł pól udzielił Specjalista ds. Administracji Projektu P4 Sp. z o.o., który nie brał udziału w badaniach. Identyfikację źródeł i parametrów technicznych wykonano na podstawie analizy przekazanej ze zleceniem dokumentacji oraz obserwacji w miejscu wykonywania badań.

Z informacji zleciodawcy wynika, że podczas badania anteny użytkownika o sterowanych wiązkach zostały ustawione w sposób opisany zgodnie z punktem 13 ppkt.2 załącznika do rozporządzenia Ministra Klimatu z dnia 17 lutego 2020 r. (Dz. U. 2022 poz. 2630).

10. Opis terenu

Stacja bazowa telefonii komórkowej sieci P4 Sp. z o.o. **WOD2904A** zlokalizowana jest na kominie żelbetowym w miejscowości 44-286 Wodzisław Śląski, ul. Radlińska 72. Anteny sektorowe są zainstalowane na wysokości 52,1m oraz 53,1m n. p. t. Urządzenia nadawczo – odbiorcze znajdują się w szafach, które umieszczone są na gruncie. Bezpośrednim sąsiedztwem stacji są tereny przemysłowe, tereny zielone oraz zabudowa mieszkaniowa.

W badanym środowisku zidentyfikowano urządzenia innych operatorów mogące mieć wpływ na wyniki mierzonego pola EM. Pomiary zostały przeprowadzone jako szerokopasmowe w danym zakresie częstotliwości, w związku z tym uwzględniają grupy instalacji/urządzeń emitujących pola EM o poziomach najwyższych w danym zakresie częstotliwości.

11. Sprzęt pomiarowy

Tabela nr 2 – Sprzęt pomiarowy

| Lp. | Nazwa i typ urządzenia | Numer identyfikacyjny |
|-----|-----------------------------------------------------|------------------------------------|
| 1. | Zestaw pomiarowy NARDA NBM-520 wraz z sondą EF9091* | 2403/01B D-2211 2402/18B A-0148 |
| 2. | Zestaw pomiarowy NARDA NBM-520 wraz z sondą EF0691* | 2403/01B D-2211 2402/14B H-1142 |
| 3. | Termohigrometr UNI-T UT333 | C221221326 |
| 4. | Dalmierz laserowy GLM 250 VF | 209147077 |

*Zestaw pomiarowy przed wykonaniem pomiarów został sprawdzony za pomocą uniwersalnego testera sond UTEST-7

Tabela nr 3 – Szerokopasmowe mierniki pola elektromagnetycznego

| Lp. | Nazwa i typ urządzenia | Zakres pomiarowy | Numer świadectwa wzorcowania | Data następnego wzorcowania |
|-----|------------------------|--------------------------------|------------------------------|-----------------------------|
| 1. | Miernik Narda NBM-520 | Zależny od sondy | LWiPM/W/404/23** | 2025-11-08 |
| 2. | Sonda Narda EF9091 | 0,56 – 320V/m 80MHz – 90GHz | LWiPM/W/404/23** | 2025-11-08 |
| 3. | Sonda Narda EF0691 | 0,58 – 540V/m 0,1MHz – 6GHz | LWiPM/W/404/23** | 2025-11-08 |

**LWiPM – Laboratorium Wzorców i Metrologii Pola Elektromagnetycznego, Instytut Telekomunikacji, Teleinformatyki i Akustyki, Politechnika Wrocławska

Tabela nr 4 – Sprzęt uzupełniający

| Lp. | Nazwa i typ urządzenia | Zakres pomiarowy | Numer świadectwa wzorcowania | Data następnego sprawdzenia |
|-----|------------------------------------|---------------------------|------------------------------|-----------------------------|
| 1. | Termohigrometr UNI-T UT333 | -20 ÷ +60°C 0 – 100%RH | 466-1223/23*** | 2025-01-15 |
| 2. | Dalmierz laserowy Bosch GLM 250 VF | 0,05 – 250m | 215.1-M11-4180-116/13**** | 2024-12-20 |
| 3. | Urządzenie GPS GPSMAP 62ST | - | - | 2024-09-09 |

***Laboratorium Pomiarowe INTROL

****Zakład Długości Kąta GUM

12. Wyniki badań

Tabela nr 5 – Wartości natężenia pola elektrycznego i magnetycznego

| Nr pionu | Opis miejsca pomiaru | Zmierzona wartość natężenie pola ² E [V/m] | Natężenie pola ³ E [V/m] | Natężenie pola ⁴ H [A/m] | Wysokość Pomiaru ⁵ [m] | Współrzędne geograficzne pionu | Wartości WME ⁶ | Wartości WMH ⁶ |
|----------|---------------------------------------------------------------------------------|-------------------------------------------------------|-------------------------------------|-------------------------------------|-----------------------------------|--------------------------------|---------------------------|---------------------------|
| 1 | ¹ GKP 315°, przy budynku PGNiG | 2,1 | 2,6 | 0,007 | 1,85 | 50.01698 18.46171 | 0,09 | 0,09 |
| 2 | ¹ PKP 340°, teren zakładu | 1,1 | 1,4 | 0,004 | 1,90 | 50.01733 18.46174 | 0,05 | 0,05 |
| 3 | PKP 327°, teren zakładu | *0,7 | 0,9 | 0,002 | 0,3-2,00 | 50.01726 18.46150 | 0,03 | 0,03 |
| 4 | GKP 315°, teren zakładu | *0,7 | 0,9 | 0,002 | 0,3-2,00 | 50.01717 18.46135 | 0,03 | 0,03 |
| 5 | PKP 300°, teren zakładu | *0,7 | 0,9 | 0,002 | 0,3-2,00 | 50.01710 18.46121 | 0,03 | 0,03 |
| 6 | PKP 288°, teren zakładu | *0,7 | 0,9 | 0,002 | 0,3-2,00 | 50.01701 18.46104 | 0,03 | 0,03 |
| 7 | GKP 315°, przy budynku PGNiG | 1,1 | 1,4 | 0,004 | 2,00 | 50.01730 18.46114 | 0,05 | 0,05 |
| 8 | PKP 12°, teren zakładu | 1,7 | 2,1 | 0,006 | 1,66 | 50.01755 18.46210 | 0,07 | 0,08 |
| 9 | PKP 30°, teren zakładu | 2,0 | 2,5 | 0,007 | 1,70 | 50.01732 18.46239 | 0,09 | 0,09 |
| 10 | GKP 45°, teren zakładu | 2,2 | 2,7 | 0,007 | 1,70 | 50.01727 18.46267 | 0,10 | 0,10 |
| 11 | PKP 57°, teren zakładu | 2,0 | 2,5 | 0,007 | 1,60 | 50.01717 18.46286 | 0,09 | 0,09 |
| 12 | PKP 69°, teren zakładu | 1,9 | 2,3 | 0,006 | 1,80 | 50.01703 18.46287 | 0,08 | 0,08 |
| 13 | GKP 135°, teren zakładu | 2,0 | 2,5 | 0,007 | 1,90 | 50.01672 18.46210 | 0,09 | 0,09 |
| 14 | GKP 225°, teren zakładu | 1,5 | 1,8 | 0,005 | 1,70 | 50.01639 18.46128 | 0,07 | 0,07 |
| 15 | PKP 237°, teren zakładu | 1,7 | 2,1 | 0,006 | 1,80 | 50.01646 18.46116 | 0,07 | 0,08 |
| 16 | PKP 248°, teren zakładu | 1,7 | 2,1 | 0,006 | 1,90 | 50.01655 18.46106 | 0,07 | 0,08 |
| 17 | GKP 225°, przy Centrum Krwiodawstwa | *0,7 | 0,9 | 0,002 | 0,3-2,00 | 50.01570 18.46046 | 0,03 | 0,03 |
| 18 | GKP 135°, droga gruntowa | *0,7 | 0,9 | 0,002 | 0,3-2,00 | 50.01585 18.46330 | 0,03 | 0,03 |
| 19 | GKP 225°, przy bloku, os. XXX-lecia 104 | 2,3 | 2,8 | 0,008 | 0,70 | 50.01406 18.45785 | 0,10 | 0,10 |
| 20 | GKP 315°, parking, ul. Radlińska 105a | 1,3 | 1,6 | 0,004 | 1,80 | 50.01859 18.45921 | 0,06 | 0,06 |
| 21 | GKP 315°, teren zieleni | *0,7 | 0,9 | 0,002 | 0,3-2,00 | 50.01975 18.45731 | 0,03 | 0,03 |
| 22 | ¹ DPP, w płaszczyźnie otworu okiennego, I piętro, ul. Bojowników 65b | 1,2 | 1,5 | 0,004 | 1,70 | - | 0,05 | 0,05 |
| 23 | DPP, w płaszczyźnie otworu okiennego, I piętro, ul. Bojowników 61a | 1,4 | 1,7 | 0,005 | 1,90 | - | 0,06 | 0,06 |
| 24 | GKP 45°, teren zieleni | *0,7 | 0,9 | 0,002 | 0,3-2,00 | 50.01979 18.46666 | 0,03 | 0,03 |

* wynik spoza zakresu akredytacji - przy wskazaniach sondy poniżej dolnego zakresu akredytacji dla punktu pomiarowego, przyjęto do obliczeń wyniku skorygowanego wartość skorelowaną z rzeczywistym wynikiem pomiaru tj. dolną granicę akredytowanego zakresu pomiarowego metody 0,7 V/m.

¹ - GKP – Główny Kierunek Pomiarowy, PKP- Pomocniczy kierunek pomiarowy, DPP – Dodatkowy pion pomiarowy

² – wynik pomiaru, z uwzględnieniem współczynników Cf (charakterystyka częstotliwościowa) i Cd (charakterystyka dynamiczna).

³ - wynik pomiaru natężenia skutecznego pola elektromagnetycznego powiększony o niepewności pomiaru. Wartość chwilowa, zgodnie z pkt. 11 załącznika do rozporządzenia Ministra Klimatu z dnia 17 lutego 2020 r. (Dz. U. 2022 poz. 2630).

⁴ - wartość wyznaczona na podstawie pomiaru wartości skutecznej natężenia pola elektrycznego, z uwzględnieniem niepewności pomiaru, dla pomiarów wykonanych od źródła pól elektromagnetycznych, z zależności opisanej w pkt.3 załącznika do rozporządzenia Ministra Klimatu z dnia 17 lutego 2020 r. (Dz. U. 2022 poz.2630).

⁵ - wysokość liczona jest od poziomu podłoża, gruntu

⁶ - wartości wskaźnikowe zgodnie z pkt.25 ppkt.1 załącznika do rozporządzenia Ministra Klimatu z dnia 17 lutego 2020 r. (Dz. U. 2022 poz.2630):

$$WM_E = \frac{E}{\min(ME_{gr})}$$

$$WM_H = \frac{H}{\min(MH_{gr})}$$

gdzie:

WME (WMH) – oznacza wartość wskaźnikową poziomu emisji pól elektromagnetycznych dla miejsc dostępnych dla ludności dla składowej elektrycznej (magnetycznej) pola,

E (H) – oznacza zmierzoną wartość skuteczną natężenia pola elektrycznego E, wyrażoną w V/m, (natężenia pola magnetycznego H, wyrażonego w A/m), uśrednioną w sposób określony w przepisach wydanych na podstawie art. 122 ust. 1 ustawy z dnia 27 kwietnia 2001 r. – Prawo ochrony środowiska lub zgodnie z pkt. 11 załącznika do rozporządzenia Ministra Klimatu z dnia 17 lutego 2020 r. (Dz. U. 2022 poz. 2630).

min(ME_{gr}), (min MH_{gr}) – oznacza najniższą dopuszczalną wartość składowej elektrycznej (magnetycznej) pola dla objętego pomiarami zakresu częstotliwości dla miejsc dostępnych dla ludności określoną w przepisach wydanych na podstawie art. 122 ust. 1 ustawy z dnia 27 kwietnia 2001 r. – Prawo ochrony środowiska wyrażoną w V/m rozporządzeniem Min. Zdrowia z 17 grudnia 2019 roku Dz.U 2019 poz.2448.

Oszacowana niepewność rozszerzona przeprowadzonych pomiarów natężenia pola elektromagnetycznego nie przekracza 23,0 % (niepewność rozszerzona przy prawdopodobieństwie rozszerzenia ok.95% i współczynniku k=2).

W czasie badania wykonano pomiar kontrolny. Zmienność poziomu pola elektromagnetycznego w pkt. 10 referencyjnych została uwzględniona w niepewności pomiarów.

13. Podsumowanie

Dopuszczalny poziom promieniowania, dla poszczególnych zakresów częstotliwości, charakteryzują parametry fizyczne określone w załączniku do Rozporządzenia Ministra Zdrowia z dnia 17 grudnia 2019 r. w sprawie dopuszczalnych poziomów pól elektromagnetycznych w środowisku (Dz. U. 2019, poz. 2448) – tabela nr 6.

Tabela nr 6 – Dopuszczalne poziomy pól elektromagnetycznych dla miejsc dostępnych dla ludności.

| Zakres częstotliwości pola elektromagnetycznego | Składowa elektryczna E (V/m) | Składowa magnetyczna H (A/m) | Gęstość mocy S (W/m ²) |
|-------------------------------------------------|------------------------------|------------------------------|------------------------------------|
| 0 Hz | 10000 | 2500 | ND |
| Od 0 Hz do 0,5 Hz | ND | 2500 | ND |
| Od 0,5 Hz do 50 Hz | 10000 | 60 | ND |
| Od 0,05 Hz do 1 kHz | ND | 3 / f | ND |
| Od 1 kHz do 3 kHz | 250 / f | 5 | ND |
| Od 3 kHz do 150 kHz | 87 | 5 | ND |
| Od 0,15 MHz do 1 MHz | 87 | 0,73 / f | ND |
| Od 1 MHz do 10 MHz | 87 / f ^{0,5} | 0,73 / f | ND |
| Od 10 MHz do 400 MHz | 28 | 0,073 | 2 |
| Od 400 MHz do 2000 MHz | 1,375 x f ^{0,5} | 0,0037 x f ^{0,5} | f / 200 |
| Od 2 GHz do 300 GHz | 61 | 0,16 | 10 |

Podczas badania przyjęto, jako wartości dopuszczalną poziomu pola elektromagnetycznego w środowisku wartość 2 W/m² (28 V/m), tj. wartość dopuszczalną dla dolnego zakresu pasma 400MHz - 2000MHz.

Pomiary wykonano dla średniego kąta pochylenia wiązki. Przeprowadzone badania w środowisku, w obszarze pomiarowym, w otoczeniu badanej stacji bazowej, w zmierzonych pionach pomiarowych, nie wykazały przekroczenia 60% wartości dopuszczalnych poziomów pól elektromagnetycznych. W związku z tym nie wymagane są dodatkowe pomiary dla największego i najmniejszego stosowanego lub planowanego kąta pochylenia wiązki, zgodnie z pkt 13. ppkt. 2 załącznika do rozporządzenia Ministra Klimatu z dnia 17 lutego 2020 r. (Dz. U. 2022 poz. 2630). Zgodnie z pkt 25 rozporządzenia Ministra Klimatu z dnia 17 lutego 2020 r. (Dz. U. 2022 poz. 2630), nie jest wymagane wykonanie pomiaru miernikiem selektywnym.

Stwierdzenie zgodności:

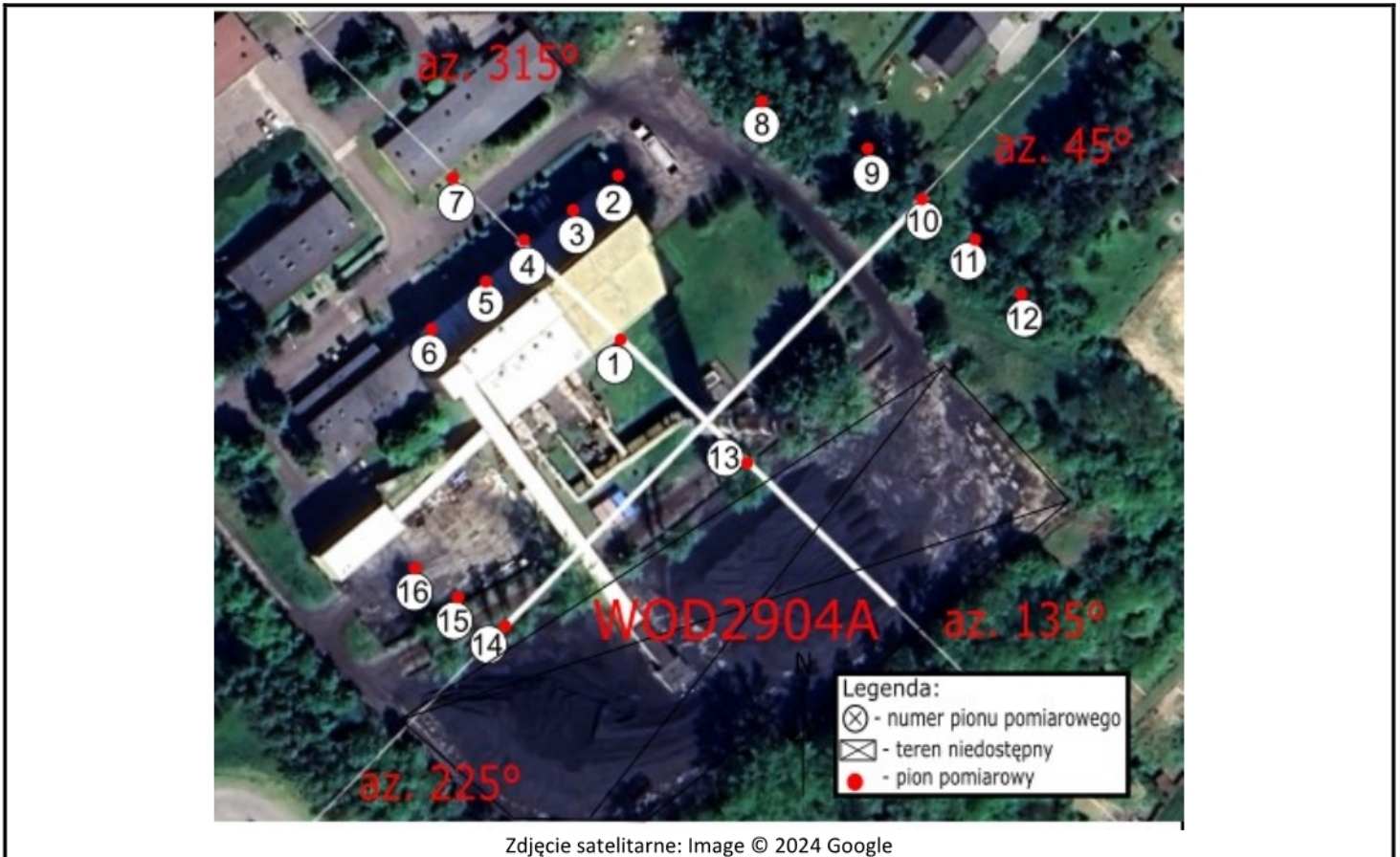
Na podstawie wytycznych wskazanych w obwieszczeniu Ministra Klimatu i Środowiska z dnia 21 listopada 2022 r. w sprawie ogłoszenia jednolitego tekstu rozporządzenia Ministra Klimatu w sprawie sposobów sprawdzania dotrzymywania dopuszczalnych poziomów pól elektromagnetycznych w środowisku (Dz. U. 2022, poz. 2630) oraz na podstawie otrzymanych wyników pomiarów i informacji uzyskanych od klienta, stwierdzono iż w miejscach dostępnych dla ludności do których uzyskano dostęp, w żadnym punkcie/pionie pomiarowym, w środowisku wokół stacji bazowej **WOD2904A** nie występują przekroczenia dopuszczalnych poziomów pól elektromagnetycznych, określonych w tabeli nr 6, w badanym zakresie pomiarowym od 400MHz do 90 GHz.


Dopuszczalne poziomy pól elektromagnetycznych w środowisku określone w przepisach wydanych na podstawie art.122 ust. 1 ustawy z dnia 27 kwietnia 2001 r. – Prawo ochrony środowiska uznaje się za dotrzymane w badanym obszarze pomiarowym, w zmierzonych pionach pomiarowych, gdyż w wyniku zastosowania sprawdzenia dotrzymywania dopuszczalnych poziomów pól elektromagnetycznych w środowisku, o którym mowa w pkt. 25 ppkt.1 i pkt. 26 (załącznika do rozporządzenia Ministra Klimatu z dnia 17 lutego 2020 r. Dz. U. 2022 poz. 2630), żadna z wartości wskaźnikowych nie przekracza 1.

14. Załączniki

Załącznik nr 1 – Rysunek poglądowy terenu, rozmieszczenie pionów pomiarowych na terenie wokół stacji
Załącznik nr 2 – Rysunek poglądowy terenu, rozmieszczenie pionów pomiarowych na terenie wokół stacji, powiększenie





| | | | |
|-------------------------------------------------------------------------------------|--------------------------------------------------------------------------------------------------------------------------------------------------------------------------------|--------------------------------------|--------------------------|
|  | <p>Załącznik nr 2 – Rysunek poglądowy terenu, rozmieszczenie pionów pomiarowych na terenie wokół stacji, powiększenie WOD2904A – 44-286 Wodzisław Śląski, ul. Radlińska 72</p> | <p>Wykonała: Ewelina Bielica</p> | <p>Skala: 1:1600</p> |
|-------------------------------------------------------------------------------------|--------------------------------------------------------------------------------------------------------------------------------------------------------------------------------|--------------------------------------|--------------------------|

Koniec sprawozdania